

Starkniederschlagshöhen und -spenden gemäß KOSTRA-DWD-2020

Rasterfeld 217137

(Zeile 217, Spalte 137)

Regenspende und Bemessungsniederschlagswerte in Abhängigkeit von Wiederkehrzeit T und Dauerstufe D

| Dauerstufe D | | Wiederkehrzeit T | | | | | | | | | | | | | | | | | |
|--------------|-----|------------------|------------|-------|------------|-------|------------|-------|------------|-------|------------|-------|------------|-------|------------|-------|------------|-------|------------|
| | | 1 a | | 2 a | | 3 a | | 5 a | | 10 a | | 20 a | | 30 a | | 50 a | | 100 a | |
| min | Std | mm | l / (s ha) | mm | l / (s ha) | mm | l / (s ha) | mm | l / (s ha) | mm | l / (s ha) | mm | l / (s ha) | mm | l / (s ha) | mm | l / (s ha) | mm | l / (s ha) |
| 5 | | 6,8 | 226,7 | 8,2 | 273,3 | 9,0 | 300,0 | 10,1 | 336,7 | 11,7 | 390,0 | 13,4 | 446,7 | 14,4 | 480,0 | 15,9 | 530,0 | 17,9 | 596,7 |
| 10 | | 9,2 | 153,3 | 11,1 | 185,0 | 12,2 | 203,3 | 13,7 | 228,3 | 15,8 | 263,3 | 18,1 | 301,7 | 19,5 | 325,0 | 21,4 | 356,7 | 24,1 | 401,7 |
| 15 | | 10,9 | 121,1 | 13,0 | 144,4 | 14,3 | 158,9 | 16,1 | 178,9 | 18,6 | 206,7 | 21,2 | 235,6 | 22,9 | 254,4 | 25,2 | 280,0 | 28,4 | 315,6 |
| 20 | | 12,1 | 100,8 | 14,5 | 120,8 | 16,0 | 133,3 | 18,0 | 150,0 | 20,8 | 173,3 | 23,7 | 197,5 | 25,6 | 213,3 | 28,1 | 234,2 | 31,7 | 264,2 |
| 30 | | 14,1 | 78,3 | 16,9 | 93,9 | 18,7 | 103,9 | 20,9 | 116,1 | 24,2 | 134,4 | 27,6 | 153,3 | 29,8 | 165,6 | 32,7 | 181,7 | 36,9 | 205,0 |
| 45 | | 16,4 | 60,7 | 19,6 | 72,6 | 21,6 | 80,0 | 24,3 | 90,0 | 28,1 | 104,1 | 32,0 | 118,5 | 34,6 | 128,1 | 37,9 | 140,4 | 42,8 | 158,5 |
| 60 | 1 | 18,2 | 50,6 | 21,8 | 60,6 | 24,0 | 66,7 | 26,9 | 74,7 | 31,2 | 86,7 | 35,5 | 98,6 | 38,4 | 106,7 | 42,1 | 116,9 | 47,4 | 131,7 |
| 90 | 1,5 | 21,0 | 38,9 | 25,2 | 46,7 | 27,7 | 51,3 | 31,1 | 57,6 | 36,0 | 66,7 | 41,0 | 75,9 | 44,3 | 82,0 | 48,6 | 90,0 | 54,8 | 101,5 |
| 120 | 2 | 23,3 | 32,4 | 27,9 | 38,8 | 30,7 | 42,6 | 34,5 | 47,9 | 39,9 | 55,4 | 45,4 | 63,1 | 49,1 | 68,2 | 53,9 | 74,9 | 60,7 | 84,3 |
| 180 | 3 | 26,8 | 24,8 | 32,1 | 29,7 | 35,4 | 32,8 | 39,8 | 36,9 | 46,0 | 42,6 | 52,4 | 48,5 | 56,6 | 52,4 | 62,1 | 57,5 | 70,0 | 64,8 |
| 240 | 4 | 29,7 | 20,6 | 35,5 | 24,7 | 39,2 | 27,2 | 44,0 | 30,6 | 50,9 | 35,3 | 58,0 | 40,3 | 62,6 | 43,5 | 68,7 | 47,7 | 77,5 | 53,8 |
| 360 | 6 | 34,2 | 15,8 | 41,0 | 19,0 | 45,2 | 20,9 | 50,7 | 23,5 | 58,6 | 27,1 | 66,8 | 30,9 | 72,2 | 33,4 | 79,2 | 36,7 | 89,3 | 41,3 |
| 540 | 9 | 39,4 | 12,2 | 47,2 | 14,6 | 52,0 | 16,0 | 58,4 | 18,0 | 67,5 | 20,8 | 77,0 | 23,8 | 83,1 | 25,6 | 91,2 | 28,1 | 102,8 | 31,7 |
| 720 | 12 | 43,5 | 10,1 | 52,2 | 12,1 | 57,5 | 13,3 | 64,5 | 14,9 | 74,7 | 17,3 | 85,1 | 19,7 | 91,9 | 21,3 | 100,9 | 23,4 | 113,7 | 26,3 |
| 1080 | 18 | 50,1 | 7,7 | 60,1 | 9,3 | 66,2 | 10,2 | 74,3 | 11,5 | 86,0 | 13,3 | 98,0 | 15,1 | 105,9 | 16,3 | 116,2 | 17,9 | 130,9 | 20,2 |
| 1440 | 24 | 55,4 | 6,4 | 66,4 | 7,7 | 73,2 | 8,5 | 82,2 | 9,5 | 95,0 | 11,0 | 108,3 | 12,5 | 117,0 | 13,5 | 128,4 | 14,9 | 144,7 | 16,7 |
| 2880 | 48 | 70,5 | 4,1 | 84,5 | 4,9 | 93,2 | 5,4 | 104,6 | 6,1 | 120,9 | 7,0 | 137,8 | 8,0 | 148,9 | 8,6 | 163,4 | 9,5 | 184,2 | 10,7 |
| 4320 | 72 | 81,2 | 3,1 | 97,3 | 3,8 | 107,3 | 4,1 | 120,4 | 4,6 | 139,3 | 5,4 | 158,7 | 6,1 | 171,4 | 6,6 | 188,1 | 7,3 | 212,1 | 8,2 |
| 5760 | 96 | 89,8 | 2,6 | 107,6 | 3,1 | 118,6 | 3,4 | 133,0 | 3,8 | 153,9 | 4,5 | 175,4 | 5,1 | 189,5 | 5,5 | 207,9 | 6,0 | 234,4 | 6,8 |
| 7200 | 120 | 97,0 | 2,2 | 116,2 | 2,7 | 128,1 | 3,0 | 143,8 | 3,3 | 166,3 | 3,8 | 189,5 | 4,4 | 204,8 | 4,7 | 224,7 | 5,2 | 253,3 | 5,9 |
| 8640 | 144 | 103,4 | 2,0 | 123,8 | 2,4 | 136,5 | 2,6 | 153,2 | 3,0 | 177,2 | 3,4 | 202,0 | 3,9 | 218,2 | 4,2 | 239,4 | 4,6 | 269,8 | 5,2 |
| 10080 | 168 | 109,0 | 1,8 | 130,7 | 2,2 | 144,0 | 2,4 | 161,6 | 2,7 | 186,9 | 3,1 | 213,1 | 3,5 | 230,2 | 3,8 | 252,6 | 4,2 | 284,7 | 4,7 |

Starkniederschlagshöhen und -spenden gemäß KOSTRA-DWD-2020

Rasterfeld 217137

(Zeile 217, Spalte 137)

Örtliche Unsicherheiten in Abhängigkeit von Wiederkehrzeit T und Dauerstufe D

| Dauerstufe D | | Wiederkehrzeit T | | | | | | | | |
|--------------|-----|------------------|-----|-----|-----|------|------|------|------|-------|
| | | 1 a | 2 a | 3 a | 5 a | 10 a | 20 a | 30 a | 50 a | 100 a |
| min | Std | ± % | ± % | ± % | ± % | ± % | ± % | ± % | ± % | ± % |
| 5 | | 23 | 24 | 24 | 25 | 25 | 26 | 26 | 26 | 27 |
| 10 | | 24 | 25 | 26 | 27 | 28 | 28 | 28 | 29 | 29 |
| 15 | | 25 | 26 | 27 | 27 | 28 | 29 | 29 | 29 | 30 |
| 20 | | 25 | 26 | 27 | 27 | 28 | 29 | 29 | 29 | 30 |
| 30 | | 24 | 25 | 26 | 27 | 28 | 28 | 28 | 29 | 29 |
| 45 | | 23 | 24 | 25 | 25 | 26 | 27 | 27 | 28 | 28 |
| 60 | 1 | 22 | 23 | 24 | 24 | 25 | 26 | 26 | 26 | 27 |
| 90 | 1,5 | 20 | 21 | 22 | 22 | 23 | 24 | 24 | 25 | 25 |
| 120 | 2 | 19 | 20 | 21 | 21 | 22 | 23 | 23 | 23 | 24 |
| 180 | 3 | 17 | 18 | 19 | 20 | 20 | 21 | 21 | 22 | 22 |
| 240 | 4 | 17 | 18 | 18 | 19 | 19 | 20 | 20 | 21 | 21 |
| 360 | 6 | 16 | 17 | 17 | 18 | 18 | 19 | 19 | 19 | 20 |
| 540 | 9 | 16 | 17 | 17 | 17 | 18 | 18 | 19 | 19 | 19 |
| 720 | 12 | 17 | 17 | 17 | 18 | 18 | 18 | 19 | 19 | 19 |
| 1080 | 18 | 18 | 18 | 19 | 19 | 19 | 19 | 19 | 19 | 20 |
| 1440 | 24 | 20 | 20 | 20 | 20 | 20 | 20 | 20 | 20 | 20 |
| 2880 | 48 | 24 | 24 | 24 | 24 | 23 | 23 | 23 | 23 | 24 |
| 4320 | 72 | 27 | 27 | 26 | 26 | 26 | 26 | 26 | 26 | 26 |
| 5760 | 96 | 30 | 29 | 28 | 28 | 28 | 28 | 28 | 28 | 28 |
| 7200 | 120 | 31 | 31 | 30 | 30 | 30 | 30 | 29 | 29 | 29 |
| 8640 | 144 | 33 | 32 | 32 | 31 | 31 | 31 | 31 | 31 | 31 |
| 10080 | 168 | 34 | 33 | 33 | 33 | 32 | 32 | 32 | 32 | 32 |

Parameter für abweichende T und D

Lokationsparameter ξ (Xi)

18,38923587

Skalenparameter α (Alpha)

5,06667008

Formparameter κ (Kappa)

-0,1

1. Koutsoyiannis-Parameter θ (Theta)

0,01750899

2. Koutsoyiannis-Parameter η (Eta)

0,65249577

Parameter für dauerstufenübergreifende Extremwertschätzung nach KOUTSOYIANNIS et al. 1998.

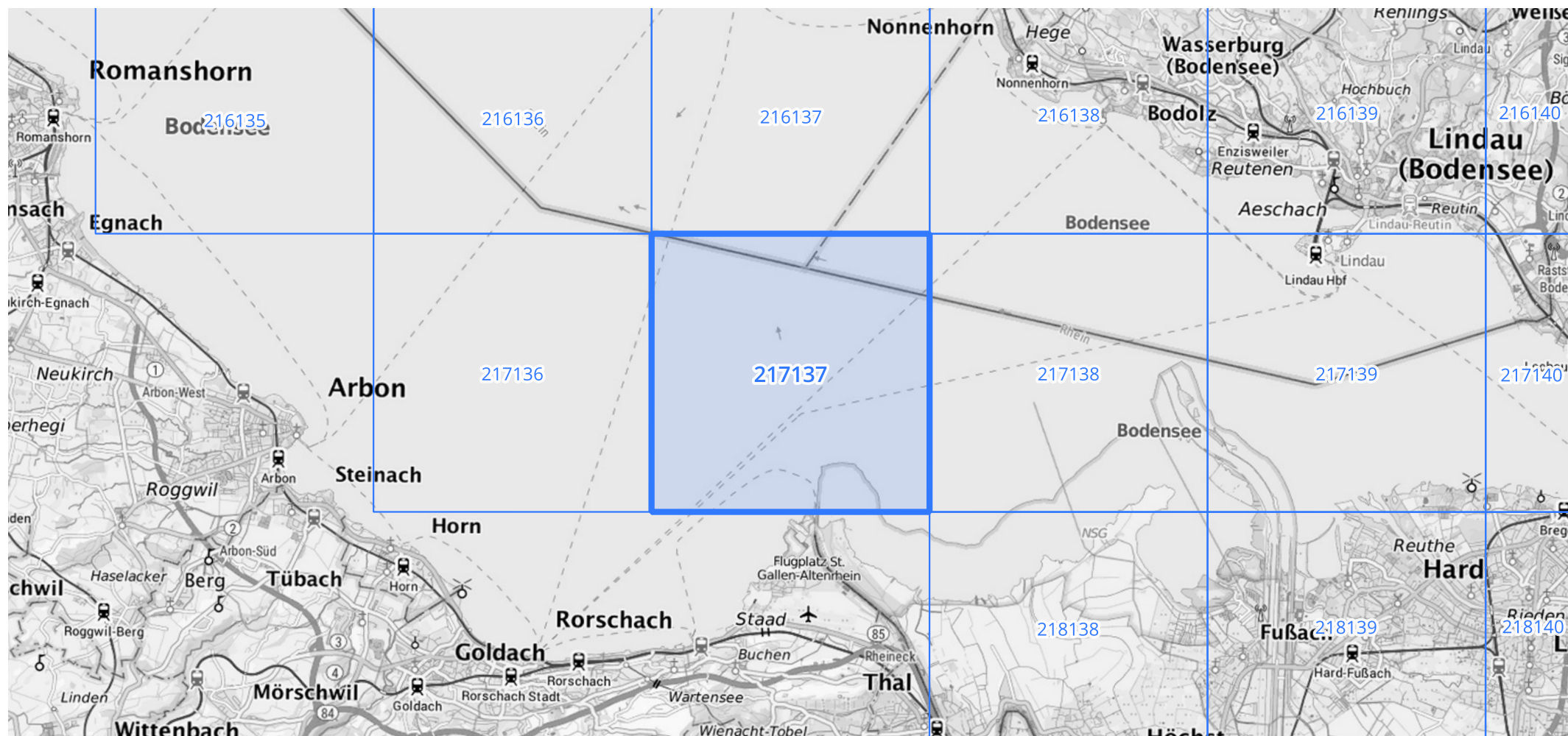
Siehe auch Anwendungshilfe zu KOSTRA-DWD-2020 des Deutschen Wetterdienstes.

Starkniederschlagshöhen und -spenden gemäß KOSTRA-DWD-2020

Rasterfeld 217137

(Zeile 217, Spalte 137)

Übersichtskarte des Rasterfeldes 217137, M 1 : 100 000



Quelle Rasterdaten: KOSTRA-DWD-2020 des Deutschen Wetterdienstes, Stand 12/2022.

Seite 3 von 3

Kartendarstellung: © Bundesamt für Kartographie und Geodäsie (2023), Datenquellen: https://sgx.geodatenzentrum.de/web_public/gdz/datenquellen/Datenquellen_TopPlusOpen.html

Für die Richtigkeit und Aktualität der Angaben wird keine Gewähr übernommen. Erstellt 01/2023.